

Perturbação de Uvarov aplicado à medida clássica de Jacobi

Tatiane Tambarussi

Depto de Matemática, Estatística e Computação, FCT, UNESP,
19060-900, Presidente Prudente, SP
E-mail: tatitambarussi@hotmail.com

Fernando R. Rafaeli

Depto de Matemática Aplicada, IBILO, UNESP,
15054-000, São José do Rio Preto, SP
E-mail: rafaeli@ibilce.unesp.br

Resumo: O objetivo deste trabalho é apresentar polinômios ortogonais gerados por uma perturbação na medida. O caso que estudaremos é conhecido como medida de Uvarov. Os polinômios gerados pela medida de Uvarov poderam ser escritos através de uma Fórmula de Conexão, que nos permite analisar o comportamento monotônico e assintótico de seus zeros. Por fim aplicaremos estes resultados à medida clássica de Jacobi.

Palavras-chave: Polinômios Ortogonais, Medida, Uvarov.

Neste trabalho vamos apresentar sequências de polinômios ortogonais com respeito a medida $d\phi_\lambda(x) = d\phi(x) + \lambda\delta(x - c)$, conhecida como perturbação de Uvarov, onde $d\phi(x)$ é uma medida positiva com suporte finito ou infinito no intervalo (a, b) , $\delta(x - c)$ é o funcional Delta de Dirac no ponto c , em que $c \notin (a, b)$ e λ é um número real não negativo. Logo, os polinômios $p_n(\lambda, c; x)$ que descreveremos são ortogonais com relação ao produto interno

$$\langle p, q \rangle_\lambda = \int_a^b p(x)q(x)d\phi(x) + \lambda p(c)q(c). \quad (1)$$

Para o nosso propósito, introduzimos os polinômios $\{p_n(x)\}_{n \geq 0}$ e $\{r_n(c; x)\}_{n \geq 0}$ que são ortogonais com relação as medidas $d\phi(x)$ e $d\phi_2(x) = (x - c)^2d\phi(x)$, respectivamente. Além desses polinômios definimos os polinômios núcleos $K_n(x, y)$ por

$$K_n(x, y) := \sum_{k=0}^n \frac{P_k(x)P_k(y)}{\|P_k\|^2}$$

$$\text{onde } \|P_k\|^2 = \int_a^b P_k^2(x)d\phi(x).$$

O teorema abaixo nos mostra uma representação para esta família de polinômios ortogonais, com relação à medida $d\phi_\lambda(x)$ apresentando uma forma de escrevê-los, através de uma combinação linear de polinômios.

Teorema 1: [Fórmula de conexão] Os polinômios $\hat{p}_n(\lambda, c; x)$, com a normalização $\hat{p}_n(\lambda, c; x) = \kappa_n p_n(\lambda, c; x)$, onde $p_n(\lambda, c; x)$ é mónico, pode ser representado como

$$\hat{p}_n(\lambda, c; x) = p_n(x) + \lambda B_n(x - c)r_{n-1}(c; x), \quad (2)$$

onde

$$B_n = \frac{-p_n(c)}{\langle x - c, r_{n-1} \rangle_\phi} = K_{n-1}(c, c) > 0 \quad (3)$$

$$\text{e } \kappa_n = 1 + \lambda K_{n-1}(c, c).$$

O teorema a seguir aborda o entrelaçamento dos zeros $\{w_{n,k}\}_{k=1}^n$ dos polinômios $\hat{p}_n(\lambda, c; x)$ com $\{y_{n,k}\}_{k=1}^n$ e $\{x_{n,k}\}_{k=1}^n$, zeros de $r_n(c; x)$ e $p_n(x)$ respectivamente. Através da representação sugerida pela Fórmula de Conexão, pode-se provar o entrelaçamento dos zeros de $\hat{p}_n(\lambda, c; x)$ com os zeros de $p_n(x)$ e $(x - c)r_{n-1}(x)$. Além disso, obtém-se que esses zeros são funções monótonas com relação ao parâmetro λ e, quando $\lambda \rightarrow \infty$, os zeros de $\hat{p}_n(\lambda, c; x)$ convergem para os zeros dos polinômios $r_{n-1}(c; x)$, com velocidade de convergência de ordem $1/\lambda$.

Teorema 2: Seja $\lambda > 0$ e $\{y_{n,k}\}_{k=1}^n$ os zeros dos polinômios $r_n(c; x)$ ortogonais com respeito à medida $d\phi_2(x)$.

(i) Se $c \leq a$, então

$$c < w_{n,1} < x_{n,1} < y_{n-1,1} < x_{n,2} < \cdots < y_{n-1,n-1} < w_{n,n} < x_{n,n}. \quad (4)$$

Além disso, cada $w_{n,k}$ é uma função decrescente de λ e, para cada $k = 1, 2, \dots, n-1$,

$$\lim_{\lambda \rightarrow \infty} w_{n,1} = c, \quad \lim_{\lambda \rightarrow \infty} w_{n,k+1} = y_{n-1,k},$$

bem como

$$\lim_{\lambda \rightarrow \infty} \lambda [w_{n,1} - c] = \frac{-p_n(c)}{K_{n-1}(c, c)r_{n-1}(c)} \quad (5)$$

$$\lim_{\lambda \rightarrow \infty} \lambda [w_{n,k+1} - y_{n-1,k}] = \frac{-p_n(y_{n-1,k})}{K_{n-1}(c, c)(y_{n-1,k} - c)r'_{n-1}(y_{n-1,k})}. \quad (6)$$

(ii) Se $c \geq b$, então

$$x_{n,1} < w_{n,1} < y_{n-1,1} < \cdots < x_{n,n-1} < w_{n,n-1} < y_{n-1,n-1} < x_{n,n} < w_{n,n} < c. \quad (7)$$

Além disso, cada $w_{n,k}$ é uma função crescente de λ e, para cada $k = 1, 2, \dots, n-1$,

$$\lim_{\lambda \rightarrow \infty} w_{n,n} = c, \quad \lim_{\lambda \rightarrow \infty} w_{n,k} = y_{n-1,k},$$

bem como

$$\lim_{\lambda \rightarrow \infty} \lambda [c - w_{n,n}] = \frac{p_n(c)}{K_{n-1}(c, c)r_{n-1}(c)} \quad (8)$$

$$\lim_{\lambda \rightarrow \infty} \lambda [y_{n-1,k} - w_{n,k}] = \frac{p_n(y_{n-1,k})}{K_{n-1}(c, c)(y_{n-1,k} - c)r'_{n-1}(y_{n-1,k})}. \quad (9)$$

Vamos considerar alguns casos particulares da perturbação de Uvarov. No artigo de Huertas, Marcellán e Rafaeli [5] foi proposto a modificação da medida clássica de Jacobi através da perturbação de Uvarov.

A sequência de polinômios mônicos de Jacobi $\{p_n^{(\alpha,\beta)}(x)\}$, é ortogonal com relação á medida $d\phi_{\alpha,\beta}(x) = (1-x)^\alpha(1+x)^\beta dx$. Consideremos as seguintes perturbações na medida $d\phi_{\alpha,\beta}(x)$:

$$d\phi(\lambda, 1; x) = d\phi_{\alpha,\beta}(x) + \lambda\delta(x-1), \quad (10)$$

$$d\phi(\lambda, -1; x) = d\phi_{\alpha,\beta}(x) + \lambda\delta(x+1). \quad (11)$$

A partir, das medidas introduzidas em (10) e (11), obtemos duas novas famílias de polinômios ortogonais mônicos as quais, denotaremos por $\{p_n^{(\alpha,\beta)}(\lambda, 1; x)\}$ e $\{p_n^{(\alpha,\beta)}(\lambda, -1; x)\}$, respectivamente. Esses polinômios são conhecidos na literatura como polinômios ortogonais do tipo Jacobi ou polinômios ortogonais de Jacobi-Koornwinder. De fato eles apareceram pela primeira vez no trabalho de Koornwinder [8].

Com a normalização $\hat{p}_n^{(\alpha,\beta)}(\lambda, c; x) = \kappa_n p_n^{(\alpha,\beta)}(\lambda, c; x)$ introduzida no Teorema 1, onde $\kappa_n = 1 + \lambda K_{n-1}(c, c)$ e $p_n^{(\alpha,\beta)}(\lambda, c; x)$ é um polinômio do tipo Jacobi mônico, obtemos a Fórmula de Conexão para os polinômios $\hat{p}_n^{(\alpha,\beta)}(\lambda, 1; x)$:

$$\hat{p}_n^{(\alpha,\beta)}(\lambda, 1; x) = p_n^{(\alpha,\beta)}(x) + \lambda K_{n-1}(1, 1)(x - 1)p_{n-1}^{(\alpha+2,\beta)}(x). \quad (12)$$

Na equação (12), temos um polinômio tipo Jacobi escrito como combinação linear de um polinômio ortogonal com relação à medida $d\phi_{\alpha,\beta}(x)$, e outro com relação à medida $d\phi_2(x)$ resultando em um polinômio tipo Jacobi deslocado no parâmetro α , com isso podemos utilizar o Teorema 2, onde basta provar que os zeros desses polinômios se entrelaçam, e teremos hipóteses suficientes para analisar o comportamento dos zeros dos polinômios tipo Jacobi com relação a monotonicidade e assintoticidade.

Teorema 3: Sejam $\alpha, \beta > -1$ e sejam $x_{n,k}(\alpha, \beta)$ e $x_{n,k}(\alpha, \beta; \lambda) := x_{n,k}(\alpha, \beta; 1, \lambda)$, $k = 1, \dots, n$, os zeros de $p_n^{(\alpha,\beta)}(x)$ e $p_n^{(\alpha,\beta)}(\lambda, 1; x)$, respectivamente. Então vale a seguinte propriedade de entrelaçamento:

$$\begin{aligned} x_{n,1}(\alpha, \beta) &< x_{n,1}(\alpha, \beta; \lambda) < x_{n-1,1}(\alpha + 2, \beta) < x_{n,2}(\alpha, \beta) < x_{n,2}(\alpha, \beta; \lambda) < \dots < \\ &< x_{n,n-1}(\alpha, \beta) < x_{n,n-1}(\alpha, \beta; \lambda) < x_{n-1,n-1}(\alpha + 2, \beta) < x_{n,n}(\alpha, \beta) < x_{n,n}(\alpha, \beta; \lambda) < 1, \end{aligned}$$

Além disso, cada $x_{n,k}(\alpha, \beta; \lambda)$ é uma função crescente de λ e, para $k = 1, \dots, n-1$,

$$\lim_{\lambda \rightarrow \infty} x_{n,n}(\alpha, \beta; \lambda) = 1, \quad \lim_{\lambda \rightarrow \infty} x_{n,k}(\alpha, \beta; \lambda) = x_{n-1,k}(\alpha + 2, \beta), \quad (13)$$

e,

$$\lim_{\lambda \rightarrow \infty} \lambda [1 - x_{n,n}(\alpha, \beta; \lambda)] = g_n(\alpha, \beta), \quad (14)$$

$$\lim_{\lambda \rightarrow \infty} \lambda [x_{n-1,k}(\alpha + 2, \beta) - x_{n,k}(\alpha, \beta; \lambda)] = \frac{[1 + x_{n-1,k}(\alpha + 2, \beta)] g_n(\alpha, \beta)}{2(\alpha + 2)}, \quad (15)$$

onde

$$g_n(\alpha, \beta) = \frac{2^{\alpha+\beta+2} \Gamma(n) \Gamma(\alpha+2) \Gamma(\alpha+3) \Gamma(n+\beta)}{\Gamma(n+\alpha+2) \Gamma(n+\alpha+\beta+2)}. \quad (16)$$

Para ilustrar o resultado do Teorema observamos o gráfico do polinômio $\hat{p}_3^{(1,1)}(\lambda + \epsilon, 1; x)$, fixando $\lambda = 0$ para alguns valores de $\epsilon > 0$, observamos a monotonicidade dos zeros de $\hat{p}_3^{(1,1)}(\lambda + \epsilon, 1; x)$ com relação a λ .

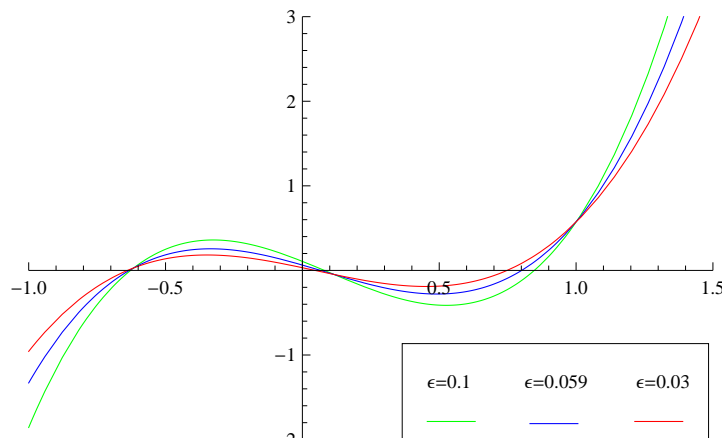


Figura 1: Gráfico de $\hat{p}_3^{(1,1)}(\lambda + \epsilon, 1; x)$

Na Tabela 1 apresentamos os zeros de $\hat{p}_3^{(1,1)}(\lambda, 1; x)$ para alguns valores de λ . Notamos que todos os zeros desse polinômio crescem quando λ cresce, além disso, observamos que o último zero converge para 1 e os outros convergem para os zeros de $\hat{p}_2^{(3,1)}(x)$ que são $x_{2,1} = -0.615963$ e $x_{2,2} = 0.115963$.

λ	$x_{3,1}(1, 1, \lambda)$	$x_{3,2}(1, 1, \lambda)$	$x_{3,3}(1, 1, \lambda)$
0	-0,654654	0	0,654654
1	-0,617598	0,111189	0,975159
10	-0,616132	0,115468	0,997353
100	-0,61598	0,115913	0,999734
1000	-0,615964	0,115958	0,999973

Tabela 1: Zeros de $\hat{p}_3^{(1,1)}(\lambda, 1; x)$

Os mesmos resultados podem ser observados quando $c = -1$. Neste caso a Fórmula de Conexão para $\hat{p}_n^{(\alpha,\beta)}(\lambda, -1; x)$ é dada por

$$\hat{p}_n^{(\alpha,\beta)}(\lambda, -1; x) = p_n^{(\alpha,\beta)}(x) + \lambda K_{n-1}(-1, -1)(x+1)p_{n-1}^{(\alpha,\beta+2)}(x). \quad (17)$$

Através desta representação, pode-se provar o entrelaçamento dos zeros $\hat{p}_n^{(\alpha,\beta)}(\lambda, -1; x)$ com $p_n^{(\alpha,\beta)}(x)$ e $(x+1)p_{n-1}^{(\alpha,\beta+2)}(x)$, podendo assim estudar o comportamento de seus zeros com relação ao parâmetro λ , como mostra o teorema abaixo.

Teorema 4: Sejam $\alpha, \beta > -1$ e sejam $x_{n,k}(\alpha, \beta)$ e $x_{n,k}(\alpha, \beta; \lambda) := x_{n,k}(\alpha, \beta; -1, \lambda)$, $k = 1, \dots, n$, os zeros de $p_n^{(\alpha,\beta)}(x)$ e $p_n^{(\alpha,\beta)}(\lambda, -1; x)$, respectivamente. Então vale a seguinte propriedade de entrelaçamento:

$$\begin{aligned} -1 < x_{n,1}(\alpha, \beta; \lambda) &< x_{n,1}(\alpha, \beta) < x_{n-1,1}(\alpha, \beta + 2) < x_{n,2}(\alpha, \beta; \lambda) < x_{n,2}(\alpha, \beta) < \dots \\ &< x_{n-1,n-1}(\alpha, \beta + 2) < x_{n,n}(\alpha, \beta; \lambda) < x_{n,n}(\alpha, \beta), \end{aligned}$$

Além disso, cada $x_{n,k}(\alpha, \beta; \lambda)$ é uma função decrescente de λ e, para $k = 1, \dots, n-1$,

$$\lim_{\lambda \rightarrow \infty} x_{n,1}(\alpha, \beta; \lambda) = -1, \quad \lim_{\lambda \rightarrow \infty} x_{n,k+1}(\alpha, \beta; \lambda) = x_{n-1,k}(\alpha, \beta + 2), \quad (18)$$

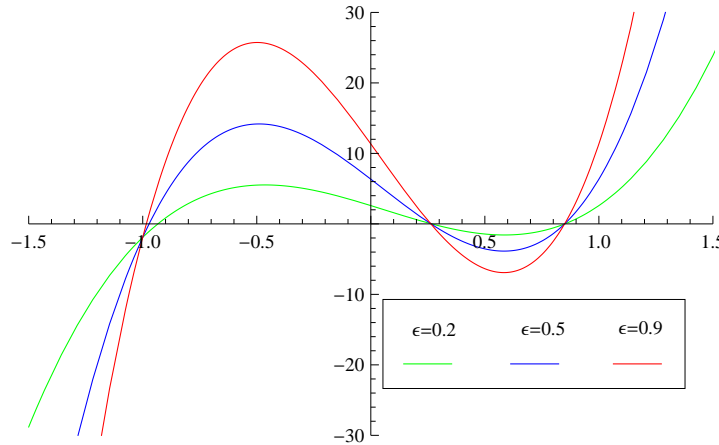
e,

$$\begin{aligned} \lim_{\lambda \rightarrow \infty} \lambda [x_{n,1}(\alpha, \beta; \lambda) + 1] &= h_n(\alpha, \beta) \\ \lim_{\lambda \rightarrow \infty} \lambda [x_{n,k+1}(\alpha, \beta; \lambda) - x_{n-1,k}(\alpha, \beta + 2)] &= \frac{[1 - x_{n-1,k}(\alpha, \beta + 2)] h_n(\alpha, \beta)}{2(\beta + 2)}, \end{aligned} \quad (19)$$

onde

$$h_n(\alpha, \beta) = \frac{2^{\alpha+\beta+2} \Gamma(n) \Gamma(\beta+2) \Gamma(\beta+3) \Gamma(n+\alpha)}{\Gamma(n+\beta+2) \Gamma(n+\alpha+\beta+2)}. \quad (20)$$

Para ilustrar o resultado do Teorema 4, o gráfico do polinômio $\hat{p}_3^{(0,3)}(\lambda + \epsilon, -1; x)$, fixando $\lambda = 0$ e para valores de $\epsilon > 0$, notamos o comportamento monótono dos zeros de $\hat{p}_3^{(0,3)}(\lambda + \epsilon, 1; x)$ com relação a λ .

Figura 2: Gráfico de $\hat{p}_3^{(0,3)}(\lambda + \epsilon, -1; x)$.

Na Tabela 2, apresentamos os zeros de $\hat{p}_3^{(0,3)}(\lambda, -1; x)$ para alguns valores de λ . Notamos que todos os zeros desse polinômio decrescem quando λ cresce, além disso, observamos que o primeiro zero converge para -1, e os outros convergem para os zeros de $\hat{p}_2^{(0,5)}(x)$ que são $x_{2,1} = -0.261583$ e $x_{2,2} = 0.849528$.

λ	$x_{3,1}(0, 3, \lambda)$	$x_{3,2}(0, 3, \lambda)$	$x_{3,3}(0, 3, \lambda)$
0	-0,273471	0,397623	0,875848
1	-0,985755	0,262648	0,849745
10	-0,998551	0,26169	0,84955
100	-0,99985	0,261594	0,84953
1000	-0,999985	0,261584	0,849528

Tabela 2: Zeros de $\hat{p}_3^{(0,3)}(\lambda, -1; x)$

Referências

- [1] BRACCIALI, C. F., DIMITROV, D. K., RANGA, A. S. “Chain sequences and symmetric generalized orthogonal polynomials”, J. Comput. Appl. Math. 143 (2002) 95–106.
- [2] CHIHARA, T. S., “An Introduction to Orthogonal Polynomials”, Mathematics and its Applications Series, Gordon and Breach, New York, 1978.
- [3] DIMITROV, D. K., MARCELLÁN, F., RAFAELI, F. R. “Monotonicity of zeros of Laguerre-Sobolev type orthogonal polynomials”, J. Math. Anal. Appl. (2010) 80-89.
- [4] DIMITROV, D. K., MELLO, M. V., RAFAELI, F. R. “Monotonicity of zeros of Jacobi-Sobolev type orthogonal polynomials”, J. Comput. Appl. Numer. Math. (2010) 263-276.
- [5] HUERTAS, E. J., MARCELLÁN, F., RAFAELI, F.R., “Zeros of orthogonal polynomials generated by canonical perturbations of measures”, J. Comput. Appl. Math. 218 (2012) 7109-7127.
- [6] HUERTAS, E. J., “Analytic Properties of Krall-type and Sobolev-type Orthogonal Polynomials”, Ph.D. Thesis, Universidad Carlos III de Madrid, Leganés, 2012.

- [7] ISMAIL, M. E. H., “*Classical and Quantum Orthogonal Polynomials in one Variable*”, Vol. 98 of Encyclopedia of Mathematics and its Applications. Cambridge University Press, Cambridge, 2005. With two chapters by Walter Van Assche, With a foreword by Richard A. Askey.
- [8] KOORNWINDER, T. H. “*Orthogonal polynomials with weight function $(1-x)^\alpha(1+x)^\beta + M\delta(x+1) + N\delta(x-1)$* ”, Canad. Math. Bull. 27 (1984) 205-214.
- [9] OBRECHKOFF, N., “*Zeros of Polynomials*”, Acad. G. Bonchev, Bulgaria, Sofia, 2003.
- [10] SZEGŐ, G., “*Orthogonal polynomials*”, American Math. Society, Colloq. Publ., New York, 23, 1939.